

03

## Математическая модель фракционирования малоцентрированной дисперсной фазы суспензии в плоском вертикальном гидрокласификаторе

© А.В. Рязских

Воронежский государственный технический университет,  
394026 Воронеж, Россия  
e-mail: ryazhskihav@bk.ru

Поступило в Редакцию 9 января 2020 г.

В окончательной редакции 18 февраля 2020 г.

Принято к публикации 19 февраля 2020 г.

На основе гипотезы о непрерывном континууме и балансе потоков фаз предложена математическая модель переноса малоцентрированной суспензии при отсутствии перемешивания в плоском вертикальном гравитационном классификаторе с ламинарным режимом течения несущей среды без ограничения на скорость седиментации частиц. Получены аналитические соотношения для расчета локальных счетных функций плотности распределения частиц по размерам. Вычислительный эксперимент подтвердил фракционирование монодисперсной суспензии и присутствие мелких частиц в „тяжелой“ фракции полидисперсных суспензий из-за малых значений скорости дисперсионной среды у „смоченных“ поверхностей гидрокласификатора. Результаты согласуются с известными экспериментальными данными и расчетами по классическим кинетическим моделям.

**Ключевые слова:** математическая модель, классификатор, суспензия, седиментация, дисперсная фаза, полидисперсность, функция распределения частиц по размерам.

DOI: 10.21883/JTF.2020.08.49536.3-20

### Введение

Сепарация фаз при течении гетерогенных сред в вертикальных аппаратах широко используется в химической и пищевой технологиях, в биохимической, нефтегазовой и металлургической промышленности, а также в экологии [1,2]. Ключевым параметром, влияющим на производительность оборудования, является скорость классификации одной фазы относительно другой [3], в результате чего происходит фракционирование частиц суспензии. В основе гравитационного фракционирования взвеси лежит процесс седиментации, основанный на действии силы тяжести и разнице плотностей фаз [4], который реализуется в различного типа гидрокласификаторах [5], причем эффективность их функционирования зависит от физико-химических характеристик суспензии, геометрических параметров оборудования и величин потоков фаз.

Моделирование явлений переноса в гидрокласификаторах обычно осуществляется в рамках двух подходов — эйлера-эйлеровского и лагранжево-эйлеровского. Первый — наиболее часто применяемый — основан на гипотезе континуума, т.е. движение каждой фазы описывается уравнениями непрерывности и движения [6,7], причем идентификация межфазного взаимодействия остается нерешенной до конца проблемой. Другой заключается в использовании дискретной модели дисперсной фазы, которая отслеживает поведение каждой частицы, а гипотеза континуума формализует гидродинамику дисперсионной среды [8]. Использование

такого подхода возможно в случае малых концентраций дисперсной фазы, так как увеличение числа частиц приводит к пропорциональному увеличению времени расчета. В последнее время стал также развиваться подход с применением стохастических методов [9].

Перечисленные стратегии требуют существенных усилий при проведении многовариантных вычислительных экспериментов, поэтому на проектных стадиях разработки гидрокласификаторного оборудования необходим альтернативный аналитический инструмент для оценки выбора диапазонов варьирования основных конструктивных и режимных характеристик, в основу которого должны быть положены модели, по крайней мере, в линейном приближении корректно описывающие физическую картину процессов в гидрокласификаторах. Наиболее часто используемая модель, удовлетворяющая таким требованиям, основана на кинетических балансовых соотношениях [10], однако ее затруднительно адаптировать на полидисперсный случай. Тем не менее дальнейшее ее развитие пошло по пути обобщения на случай счетного количества фракций с одновременным учетом их взаимодействия [11], но возможность определения локальной функции распределения частиц по размерам в сепарационных зонах гидрокласификаторов по-прежнему отсутствует. Решение такой задачи возможно в рамках гипотезы непрерывного континуума с использованием балансовых соотношений в дифференциальной форме и принципа суперпозиции концентрационных полей для малоцентрированной дисперсной фазы [12].

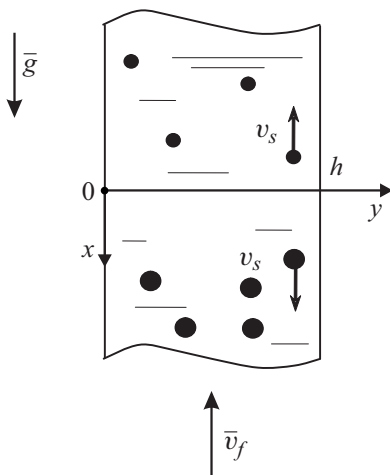


Рис. 1. Расчетная схема плоского вертикального гидроклассификатора.

### Постановка задачи

В плоский вертикальный гидроклассификатор шириной  $h$  [m] подается установившийся ламинарный поток ньютоновской несжимаемой среды с известной динамической вязкостью  $\mu_f$  [Pa·s] и плотностью  $\rho_f$  [kg/m<sup>3</sup>] со средней скоростью  $\bar{v}_f$  [m/s] в направлении, противоположном действию вектора силы тяжести  $\bar{g}$  [m/s<sup>2</sup>] (рис. 1). В выбранной 2D-декартовой системе координат при  $x = 0$  диспергируется малоцентрированная полидисперсная взвесь твердых частиц с текущим размером  $l$  [m], плотностью  $\rho_s$  [kg/m<sup>3</sup>], коэффициентом формы  $k_V$  и с седиментационной скоростью  $v_s$  [m/s]. Идеальные условия изотермического фракционирования дисперсной фазы таковы: осадок на стенках гидроклассификатора не образуется; перемешивание несущей среды, а также взаимодействие и кластеризация [13] частиц пренебрежимо малы, как и влияние начального гидродинамического участка; в связи с этим эффект Сегре–Зильберберга [14], а также силы Сафмана [15], Магнуса [16] и Боссе [17] не учитываются.

Для малоцентрированной монодисперсной суспензии из рассмотрения баланса потоков фаз в характерном элементарном объеме и с учетом принятых допущений сформулирована начально-краевая задача для уравнения переноса

$$\frac{\partial n(x, y, \tau)}{\partial \tau} = -u(y) \frac{\partial n(x, y, \tau)}{\partial x}, \quad (1)$$

с условиями отсутствия в начальный момент времени в вертикальном гидроклассификаторе частиц

$$n(x, y, 0) = 0; \quad (2)$$

и постоянства их концентрации в месте диспергирования

$$n(0, y, \tau) = n_0 = \text{const}, \quad (3)$$

где при  $u(y) = v_s - v_f(y) \geq 0$  интегрирование системы (1)–(3) осуществляется в области

$\Omega^+(x, y) = \{0 \leq x < \infty, 0 \leq h \leq h\}$ , а при  $u(y) = v_s - v_f(y) < 0$  — в области  $\Omega^-(x, y) = \{-\infty < x \leq 0, 0 \leq y \leq h\}$ ;  $\tau$  — текущее время [s];  $v_f(y)$  — локальная скорость несущей среды [m/s];  $n(x, y, \tau)$  — счетная концентрация частиц [m<sup>-3</sup>].

Суперпозиция концентрационных полей фракций, найденных из решения системы (1)–(3), позволяет определить локальные функции плотности распределения частиц по размерам.

### Анализ

Вначале проанализирован случай монодисперсной суспензии. Скорость стабилизированного восходящего ламинарного течения в вертикальном плоском канале таково [18]:

$$v_f(y) = \frac{h^2}{2\mu_f} \left( -\frac{dp}{dx} + \rho_f g \right) \left[ \left( \frac{y}{h} \right)^2 - \frac{y}{h} \right], \quad (4)$$

где  $p$  — давление [Pa]. Связь седиментационного числа Рейнольдса  $Re_s = v_s l \rho_f / \mu_f$  с числом Архимеда  $Ar = l^3 \rho_f (\rho_s - \rho_f) g / \mu_f^2$  для ламинарного ( $10^{-4} \leq Re_s < 2$ ), переходного  $2 \leq Re_s \leq 500$  и турбулентного ( $Re_s > 500$ ) режимов осаждения есть [19]

$$Re_s = \frac{Ar}{18 + 0.61 \sqrt{Ar}}$$

откуда

$$v_s = \frac{\mu_f}{l \rho_f} \cdot \frac{Ar}{18 + 0.61 \sqrt{Ar}}. \quad (5)$$

Относительная скорость гидроклассификации, нормированная на среднюю скорость  $\bar{u} = v_s - \bar{v}_f$ , составляет

$$U(Y) = \frac{u(y)}{\bar{u}} = [1 - 6Rs \cdot Y \cdot (1 - Y)] / (1 - Rs), \quad (6)$$

где  $Y = y/h$ , а безразмерный критерий

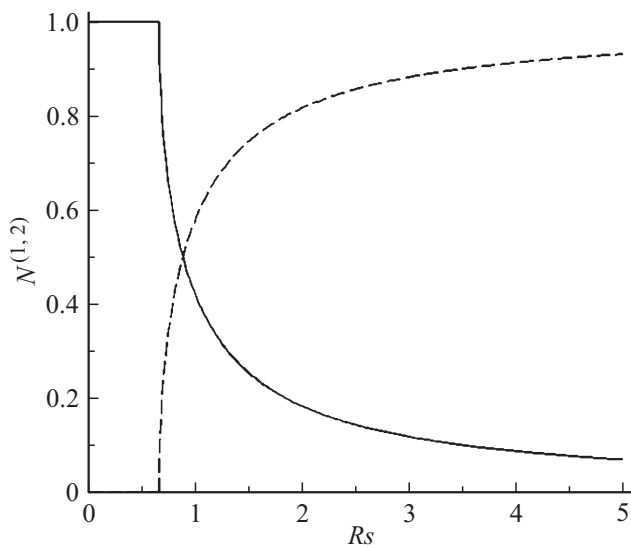
$$Rs = -\frac{h^2}{12\mu_f} \left( -\frac{dp}{dx} + \rho_f g \right) / \left( \frac{\mu_f}{l \rho_f} \cdot \frac{Ar}{18 + 0.61 \sqrt{Ar}} \right) \quad (7)$$

характеризует величину отношения средней скорости восходящего потока несущей среды в вертикальном плоском гидроклассификаторе к скорости седиментации частиц размера  $l$ .

Безразмерное концентрационное поле, как результат интегрирования системы (1)–(3), имеет вид

$$N(X, Y, \theta) = \begin{cases} 1_+[\theta \cdot U(Y) - X], & X \geq 0 \text{ при } U(Y) \geq 0; \\ 1_+[X - \theta \cdot U(Y)], & X < 0 \text{ при } U(Y) < 0; \end{cases} \quad (8)$$

где  $\theta = \bar{u} \tau / h$ ;  $X = x/h$ ;  $N(X, Y, \theta) = n(x, y, \theta) / n_0$ ;  $1_+[\dots]$  — ассиметричная единичная функция Хэвисайда [20]. Упрощение выражения (8) с использованием модельных представлений о движении



**Рис. 2.** Фракционирование монодисперсной суспензии в вертикальном гидрокласификаторе: — „нижний“ отбор частиц; — — „верхний“ отбор частиц.

несущей среды в режиме идеального вытеснения приводит к существенной неточности, особенно в случае геометрически компактных гидрокласификаторов. Из рассмотрения режима стационарного функционирования гидрокласификатора, т.е.  $X/\theta \ll 1$ , и проведения процедуры осреднения по поперечной координате  $Y$ , из (8) следуют выражения для концентраций частиц в „нижней“ и „верхней“ зонах отбора соответственно

$$N^{(1)} = \begin{cases} 1 - \sqrt{1 - 2/(3 \cdot Rs)}, & \text{при } Rs \geq 2/3; \\ 1, & \text{при } 0 \leq Rs < 2/3, \end{cases}$$

$$N^{(2)} = \begin{cases} \sqrt{1 - 2/(3 \cdot Rs)}, & \text{при } Rs \geq 2/3; \\ 1, & \text{при } 0 \leq Rs < 2/3, \end{cases}$$

Анализ показывает (рис. 2), что при учете реального профиля несущей среды наблюдается процесс псевдофракционирования монодисперсной взвеси из-за неравномерности профиля скорости. Если определить коэффициент сепарации, как  $\xi = N^{(1)}/N^{(2)}$ , и сравнить его значения с результатами пилотного эксперимента [21] по осаждению монодисперсных частиц карбоната кальция размеров 10, 25, 50, 100 и 250  $\mu\text{m}$  в восходящем водном потоке в вертикальном гидрокласификаторе со скоростью  $\bar{v}_f = 7.5 \cdot 10^{-3} \text{ m/s}$  (рис. 3), то некоторое отличие для фракции мелких частиц может быть объяснено иным условием входа несущей среды (с разворотом потока), вызывающим отклонение от ламинарного течения дисперсионной фазы [22].

Пусть при  $X = 0$  в гидрокласификатор диспергируется полидисперсная взвесь с функцией распределения  $f_0(l) [\text{m}^{-4}]$  и со среднечисленным размером

$$\bar{l}_N = \int_0^\infty l f_0(l) dl / \int_0^\infty f_0(l) dl.$$

Введение безразмерных параметров:

$$\bar{\theta} = \bar{u}(\bar{l}_N)\tau/h; \quad L = l/\bar{l}_N; \quad \bar{Ar} = \bar{l}_N^3 \rho_f (\rho_s - \rho_f) g / \mu_f^2$$

и применение принципа суперпозиции концентрационных полей к (8) дает выражение для локальной безразмерной функции распределения частиц по относительным размерам

$$F_N(X, Y, L, \bar{\theta}) = F_{N_0}(L) \times \begin{cases} 1_+[ \bar{\theta} \cdot U(Y) - X ], & X \geq 0 \text{ при } U(Y) \geq 0; \\ 1_+[ X - \bar{\theta} \cdot U(Y) ], & X < 0 \text{ при } U(Y) < 0; \end{cases} \quad (9)$$

где  $F_N(X, Y, L, \bar{\theta}) = \bar{l}_N f(x, y, l, \tau) / \int_0^\infty f(x, y, k, \tau) dl$ ;

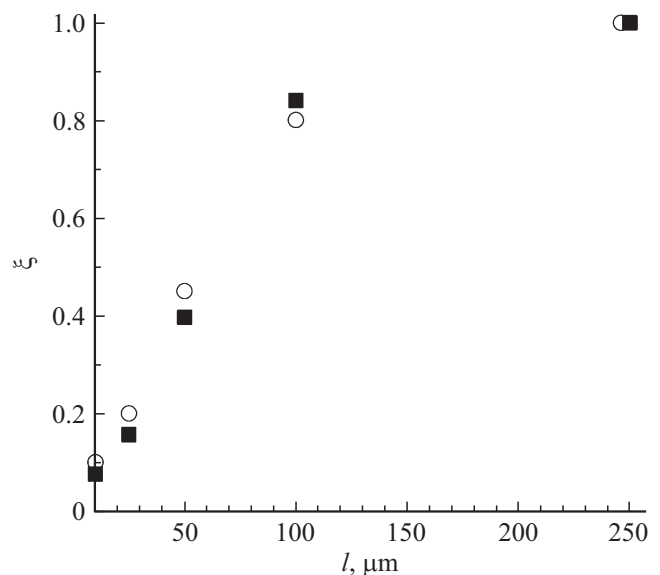
$$F_{N_0}(L) = \bar{l}_N f_0(l) / \int_0^\infty f_0(l) dl$$

$$U(Y, L) = \left( L^2 \frac{18 + 0.61\sqrt{\bar{Ar}}}{18 + 0.61L\sqrt{L \cdot \bar{Ar}}} \right)^2 \times \left[ 1 - 6\bar{R}sY(1 - Y) / \left( L^2 \frac{18 + 0.61\sqrt{\bar{Ar}}}{18 + 0.61L\sqrt{L \cdot \bar{Ar}}} \right) \right];$$

$$\bar{R}s = - \frac{h^2}{12\mu_f} \left( - \frac{dp}{dx} + \rho_f g \right) / \left( \frac{\mu_f}{\bar{l}_N \rho_f} \cdot \frac{\bar{Ar}}{19 + 0.61\sqrt{\bar{Ar}}} \right),$$

$f(x, y, l, \tau)$ ,  $f_0(l)$  — локальная и диспергируемая счетные функции распределения частиц по размерам  $[\text{m}^{-4}]$ .

Для оценки фракционного состава суспензии по координате  $X$  необходима осредненная по поперечному сечению классификатора безразмерная нормированная



**Рис. 3.** Коэффициент сепарации монодисперсной взвеси:  $\circ$  — эксперимент [21];  $\blacksquare$  — расчет по модели.

функция плотности распределения частиц по относительным размерам

$$\bar{F}_N(X, L, \bar{\theta}) = \int_0^1 F_N(X, Y, L, \bar{\theta}) dY. \quad (10)$$

Если в (9) ввести систему обозначений

$$C = B/A; \quad A = ab; \quad B = a - X,$$

$$a = \bar{\theta} \left( L^2 \frac{18 + 0.61\sqrt{\text{Ar}}}{18 + 0.61L\sqrt{L \cdot \text{Ar}}} \right)^2,$$

$$b = 6\overline{\text{Rs}} \left( L^2 \frac{18 + 0.61\sqrt{\text{Ar}}}{18 + 0.61L\sqrt{L \cdot \text{Ar}}} \right),$$

то результат интегрирования (10) будет для  $X \geq 0$  и  $U(Y, L) \geq 0$

$$\bar{F}_N^{(1)}(X, L, \bar{\theta}) = \bar{F}_{N_0}(L) \begin{cases} 1 - Y_1, & \text{при } C < 0; \\ 1 - Y_1 + Y_2, & \text{при } 0 \leq C \leq 1/4; \\ 0, & \text{при } C > 1/4, \end{cases} \quad (11)$$

для  $X < 0$  и  $U(Y, L) < 0$

$$\bar{F}_N^{(2)}(X, L, \bar{\theta}) = \bar{F}_{N_0}(L) \begin{cases} Y_1, & \text{при } C < 0; \\ Y_1 - Y_2, & \text{при } 0 \leq C \leq 1/4; \\ 0, & \text{при } C > 1/4, \end{cases} \quad (12)$$

где  $Y_{1,2} = 1/2 \pm \sqrt{1/4 - C}$ .

Пусть  $H_1 = h_1/h$  и  $H_2 = h_2/h$  — относительные аксиальные размеры зон классификации для  $X \geq 0$  и  $X < 0$  соответственно, тогда оценка времени наступления стационарного процесса фракционирования может быть найдена из условия, например, 1%-го отклонения от нестационарного, т.е.

$$\bar{\theta} = 100 \max(H_1, H_2)$$

$$\text{или } \tau = 100(18 + 0.61\sqrt{\text{Ar}}) \cdot \frac{\bar{l}_N \rho_f}{\mu_f \text{Ar}} \max(h_1, h_2). \quad (13)$$

Практический интерес представляет случай, когда  $H_{1,2} \ll \bar{\theta}$ , поэтому из (11) и (12) следуют соотношения: для  $X \geq 0$

$$\bar{F}_N^{(1)}(L) = F_{N_0}(L) \times \begin{cases} 1 - \sqrt{1 - \frac{2L^2}{2\overline{\text{Rs}}} \frac{18 + 0.61\sqrt{\text{Ar}}}{18 + 0.61L\sqrt{L \cdot \text{Ar}}}}, & \text{или } 0 \leq L \leq L^*; \\ 1, & \text{или } L > L^*; \end{cases} \quad (14)$$

для  $X < 0$

$$\bar{F}_N^{(2)}(L) = F_{N_0}(L) \times \begin{cases} \sqrt{1 - \frac{2L^2}{2\overline{\text{Rs}}} \frac{18 + 0.61\sqrt{\text{Ar}}}{18 + 0.61L\sqrt{L \cdot \text{Ar}}}}, & \text{или } 0 \leq L \leq L^*; \\ 0, & \text{или } L > L^*; \end{cases} \quad (15)$$

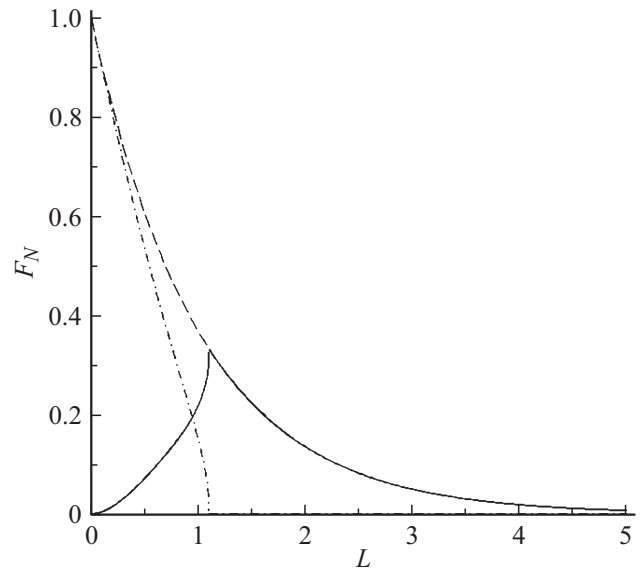


Рис. 4. Функции распределения частиц по размерам в классификаторе при  $\overline{\text{Ar}} = 10$  и  $\overline{\text{Rs}} = 0.8$ : — — исходная; - - - „тяжелых“ фракций; — „легких“ фракций.

где  $L^*$  — корень уравнения

$$\frac{2L^2}{3\overline{\text{Rs}}} \frac{18 + 0.61\sqrt{\text{Ar}}}{18 + 0.61L\sqrt{L \cdot \text{Ar}}} = 1.$$

Для исходной экспоненциальной функции распределения ( $F_{N_0} = \exp(-L)$ ,  $L \in [0, 10]$ ), которой наиболее часто подчиняются природные дисперсные материалы [23], вид функций распределения „тяжелых“ (14) и „легких“ (15) фракций на выходе из классификатора (рис. 4) подтверждает качественную адекватность предложенной модели процессу фракционирования. Детальный количественный анализ результирующих функций проведен с помощью их числовых характеристик с предварительным переформатированием (14) и (15) к нормированному виду

$$\bar{F}_{N_n}^{(1,2)}(L) = \bar{F}_{N_n}^{(1,2)}(L) / \int_0^\infty \bar{F}_{N_n}^{(1,2)}(L) dL,$$

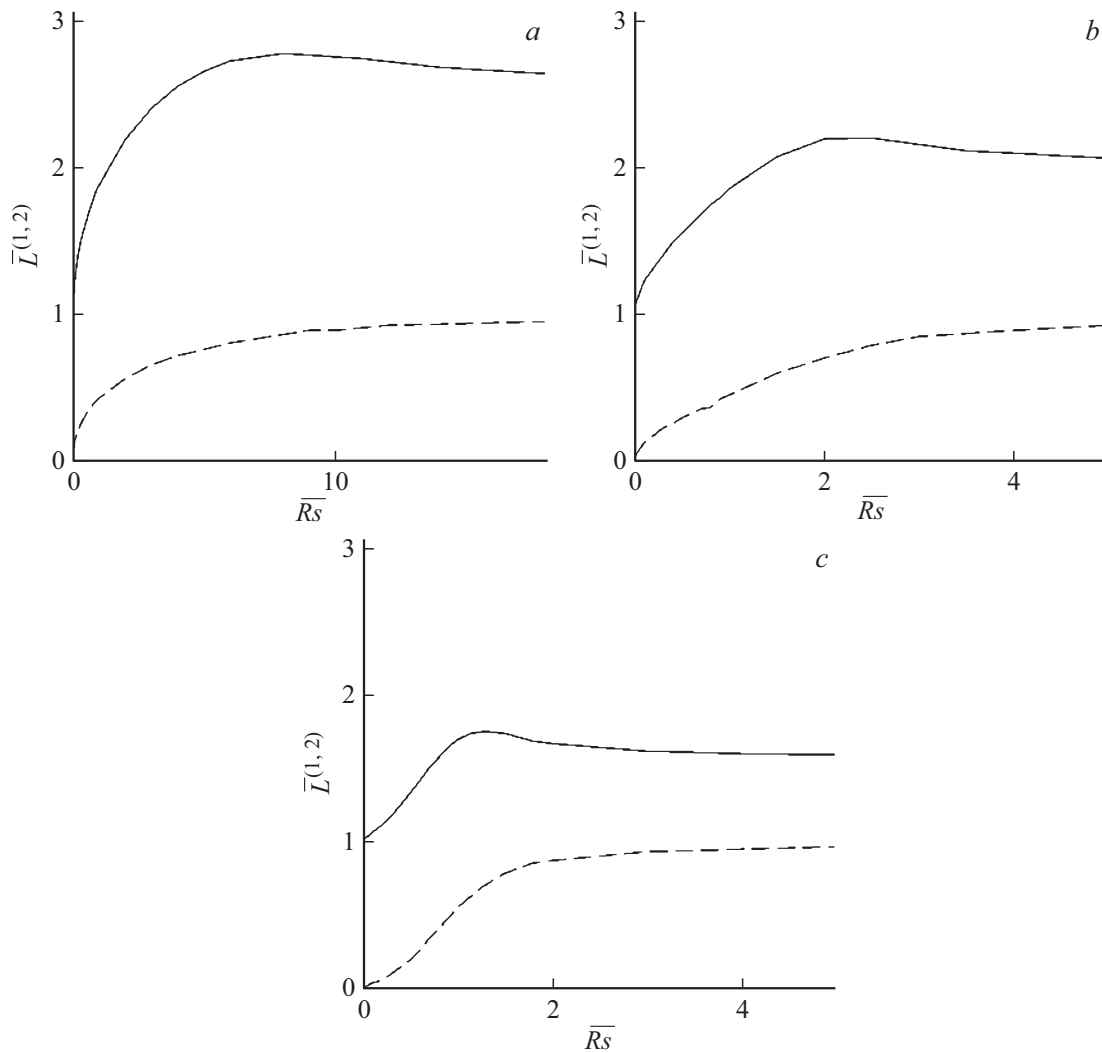
для которых определены относительные среднечисленные размеры частиц

$$\bar{L}^{(1,2)} = \int_0^\infty L \bar{F}_{N_n}^{(1,2)}(L) dL$$

и среднеквадратические отклонения от них

$$\sigma^{(1,2)} = \left[ \int_0^\infty (L - \bar{L}^{(1,2)})^2 \bar{F}_{N_n}^{(1,2)}(L) dL \right]^{1/2}.$$

На всех гидродинамических режимах седиментации (рис. 5) для „тяжелых“ фракций наблюдается максимум относительно среднего размера частиц, когда



**Рис. 5.** Изменение относительных среднечисленных размеров частиц „тяжелой“ и „легкой“ фракций в зависимости от отношения средней скорости несущей среды и скорости седиментации частиц среднечисленного размера исходной функции распределения, диспергируемой в классификатор, для различных режимов седиментации: *a* — ламинарный ( $Ar = 10$ ); *b* — переходный ( $Ar = 10^3$ ); *c* — турбулентный ( $Ar = 10^6$ ); —  $\bar{L}^{(1)}$ ; - -  $\bar{L}^{(2)}$ .

**Таблица 1.** Среднеквадратическое отклонение от среднечисленных относительных размеров частиц „тяжелой“ и „легкой“ фракций для различных режимов седиментации

Режимы	Ламинарный		Переходный		Турбулентный	
$\overline{Ar}$	10		$10^3$		$10^6$	
$\overline{Rs}$	$\sigma^{(1)}$	$\sigma^{(2)}$	$\sigma^{(1)}$	$\sigma^{(2)}$	$\sigma^{(1)}$	$\sigma^{(2)}$
0.2	1	0.14	1.00	0.11	0.99	0.04
0.6	1.02	0.24	1.02	0.23	1.03	0.22
1	1.05	0.3	1.07	0.34	1.18	0.46
3	1.2	0.52	1.39	0.81	1.24	0.94
5	1.36	0.66	1.31	0.92	1.21	0.97

средняя скорость несущей среды превосходит скорость седиментации среднечисленного размера частиц исход-

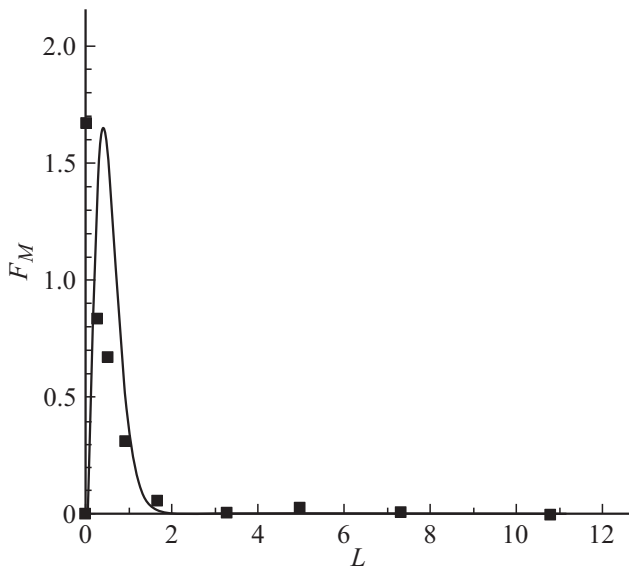
ной функции распределения, причем с увеличением  $\overline{Ar}$  величина  $\overline{Rs}$ , соответствующая этому максимуму, уменьшается. Для „легких“ фракций такого эффекта не обнаруживается. Это может быть объяснено тем, что в пристеночной области скорость течения несущей среды мала и поэтому в  $\overline{F}_{N_n}^{(1)}$  присутствуют все фракции твердой фазы, а для „легкой“ фракции увеличение  $\bar{L}^{(2)}$  с ростом  $\overline{Rs}$  является монотонным. Отметим, что для обеих фракций при  $\overline{Rs} \gg 1$  наблюдается асимптотика, и при одних и тех же  $\overline{Rs}$  величины  $\bar{L}^{(1,2)}$  уменьшаются при переходе от ламинарного режима седиментации через переходный режим и к турбулентному. Как и следовало ожидать, особенности изменения среднеквадратического отклонения аналогичны изменениям среднечисленных относительных размеров частиц „тяжелых“ и „легких“ фракций (табл. 1).

**Пример**

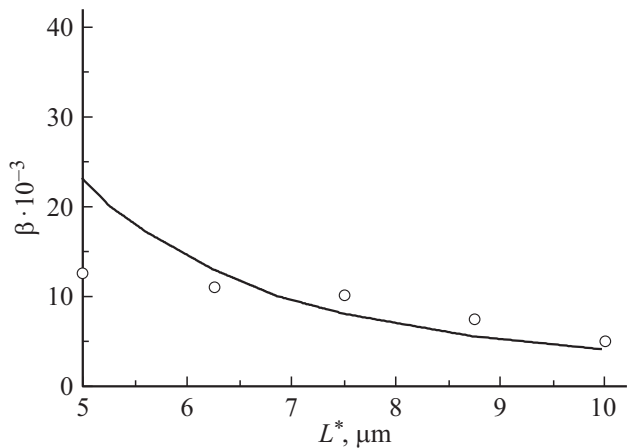
Вспользуемся результатами оценки разделительной способности вертикальных гравитационных гидрокласификаторов [24] в рамках кинетических балансовых соотношений с использованием дискретной функции распределения частиц по размерам (табл. 2) при  $\rho_s = 2900 \text{ kg/m}^3$ ;  $\rho_f = 1100 \text{ kg/m}^3$ ;  $\mu_f = 1 \cdot 10^{-3} \text{ Pa}\cdot\text{s}$ ;  $\bar{v}_f = 6 \cdot 10^{-4} \text{ m/s}$ . По исходной функции распределения, учитывая тот факт, что

$$f_v(L) = f_M(L) = dM(l)/(Mdl),$$

где  $dM(l)$ ,  $M$  — массы фракции частиц размера от  $l$  до  $l + dl$  и всех частиц в диспергируемой суспензии, вычис-



**Рис. 6.** К аппроксимации функции распределения: ■ — исходная; — аппроксимация.



**Рис. 7.** Объемная доля „легкой“ фракции: ○ — данные из [24]; — расчет.

**Таблица 2.** Функция распределения частиц по размерам

$\Delta l, \mu\text{m}$	$f_v = \frac{\Delta V}{V\Delta l}, \text{m}^{-1}$
0–5	0.030000
5–10	0.030000
10–20	0.015000
20–40	0.012000
40–63	0.005600
63–125	0.001100
125–240	0.000240
240–315	0.000470
315–500	0.000200
500–700	0.000015

лен среднемассовый размер полидисперсных частиц

$$\bar{l}_M = \int_0^\infty l f_M(L) dl \approx 55.89 \mu\text{m}.$$

Безразмерная нормированная массовая фракция плотности распределения частиц по размерам (рис. 6) аппроксимирована соотношением

$$F_M(L) = 420L^3 \exp(-7L),$$

что позволило, используя связь

$$F_{N_n}(L) = F_M(L) / \left\{ L^3 \left[ \int_0^\infty L^{-2} F_M(L) dL \right]^2 \right\},$$

найти  $F_{N_n}(L) = \exp(-L)$ , где  $\bar{L}_N = 8 \mu\text{m}$ . Результаты расчета объемной доли „легкой“ фракции (рис. 7)

$$\beta = \int_0^{L^*} \bar{F}_{N_n}^{(2)}(L) dL \left[ \int_0^{L^*} L \bar{F}_{N_n}^{(2)}(L) dL \right]^3$$

подтвердили корректность принятых допущений и адекватность модели.

**Заключение**

Предложенная математическая модель фракционирования малоцентрированной взвеси в плоском гравитационном вертикальном гидрокласификаторе во всех режимах седиментации, учитывающая неравномерность профиля скорости несущей среды при ламинарном течении, позволяет объяснить наличие мелких частиц в „тяжелых“ фракциях и псевдоклассификацию монодисперсной взвеси, а также прогнозировать дисперсный состав в любой локализации рабочего объема классификатора и выбрать при его проектировании геометрические характеристики в зависимости от расходных и физико-химических параметров суспензии.

**Конфликт интересов**

Автор заявляет, что у него нет конфликта интересов.

## Список литературы

- [1] *Affa A., Razzak S.A., Nigam K.D., Zhu J.-X.* // Ind. Eng. Chem. Res. 2009. Vol. 49. N 9. P. 7876–7882.
- [2] *Polchar R.R., Shilapurain V.* // Particuology. 2017. Vol. 31. P. 59–68.
- [3] *Барский М.Д., Ревнивцев В.И., Соколкин Ю.В.* Гравитационная классификация зернистых материалов. М.: Недра, 1974. 232 с.
- [4] *Goula A.M., Kostoglu M., Karapatsios T.D., Zouboulis A.L.* // Chem. Eng. J. 2007. Vol. 140. P. 110–121.
- [5] *Farrow J.B., Fawell P.D., Johnston R.R.M., Nguyen T.B., Rudman M., Simic K., Swift J.D.* // Chem. Eng. J. 2000. Vol. 180. P. 149–155.
- [6] *Cheng Y., Zhu J.-X.* // Canad. Chem. Eng. 2005. Vol. 83. N 2. P. 177–185.
- [7] *Чиркун Д.И., Саевич Н.П., Левданский А.Э., Ярмольник С.В.* // Труды БГТУ. 2017. Сер. 2. № 2. С. 190–194.
- [8] *Di Renzo A., Cello F.D., Maio F.P.* // Chem. Eng. Sci. 2011. Vol. 66. N 13. P. 2945–2958.
- [9] *Yongli M., Mingyan L., Yuan Z.* // Chem. Eng. Sci. 2011. Vol. 66. N 13. P. 2945–2958.
- [10] *Nasr-El-Din H., Masliyah J.H., Naudakumar K., Law H.-S.* // Chem. Eng. Sci. 1988. Vol. 43. N 13. P. 3225–3234.
- [11] *Berman Y., Tamir A.* // Chem. Eng. Sci. 2003. Vol. 58. P. 2089–2102.
- [12] *Островский Г.М.* Прикладная механика неоднородных сред. СПб.: Наука, 2000. 359 с.
- [13] *Лузуманов Т.Т., Кулеиов В.С.* // Тр. Ин-та механики им. Р.Р. Мавлютова УНЦ РАН. 2014. Вып. 10. С. 66–72.
- [14] *Serge G., Silberberg A.* // Nature. 1961. Vol. 189. P. 209–210.
- [15] *Saffman P.G.* // J. Fluid Mech. 1965. Vol. 22. P. 385–400.
- [16] *Яценко В.П.* // Физика аэродисперсных систем. 2002. Т. 39. С. 240–248.
- [17] *Губайдуллин Д.А., Осипов П.П.* // Актуальные проблемы механики сплошной среды. К 20-летию ИММ КазНЦ РАН. Казань: Фолиант, 2011. Т. 1. С. 82–97.
- [18] *Берд Р., Стьюарт В., Лайтфут Е.* Явления переноса. М.: Химия, 1974. 688 с.
- [19] *Дытнерский Ю.И.* Процессы и аппараты химической технологии. Ч. 1. М.: Химия, 2002. 400 с.
- [20] *Корн Г.А., Корн Т.М.* Справочник по математике для научных работников и инженеров. М.: Наука, 1974. 832 с.
- [21] *Luna F.D.T., Silva A.G., Fukumasu N.K., Bazan O., Gouveia J.H.A., Moraes Jr.D., Yanagihara J.I., Vianna Jr. A.S.* // Chem. Eng. J. 2019. Vol. 362. P. 712–720.
- [22] *Доманский И.В., Давыдов И.В., Боровинский В.П.* // Цветные металлы. 2000. № 1. С. 25–27.
- [23] *Гаель А.Г., Смирнова Л.Ф.* Пески и песчаные почвы. М.: ГЕОС, 1999. 252 с.
- [24] *Новый справочник химика и технолога. Процессы и аппараты химической технологий. Ч.II.* СПб.: НПО Профессионал, 2006. 916 с.